

FIG. 1A

RELATED ART

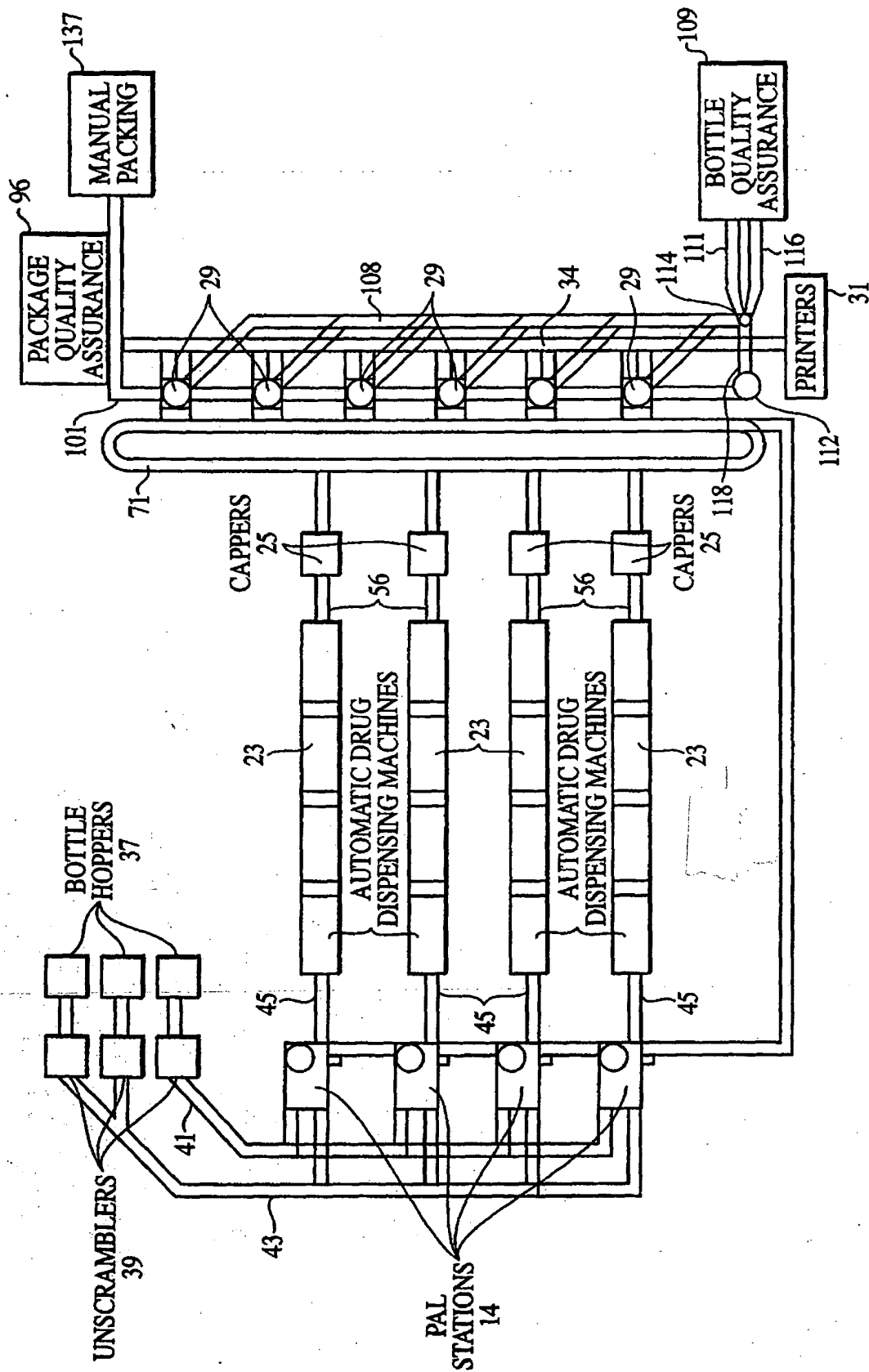


FIG. 1B
RELATED ART

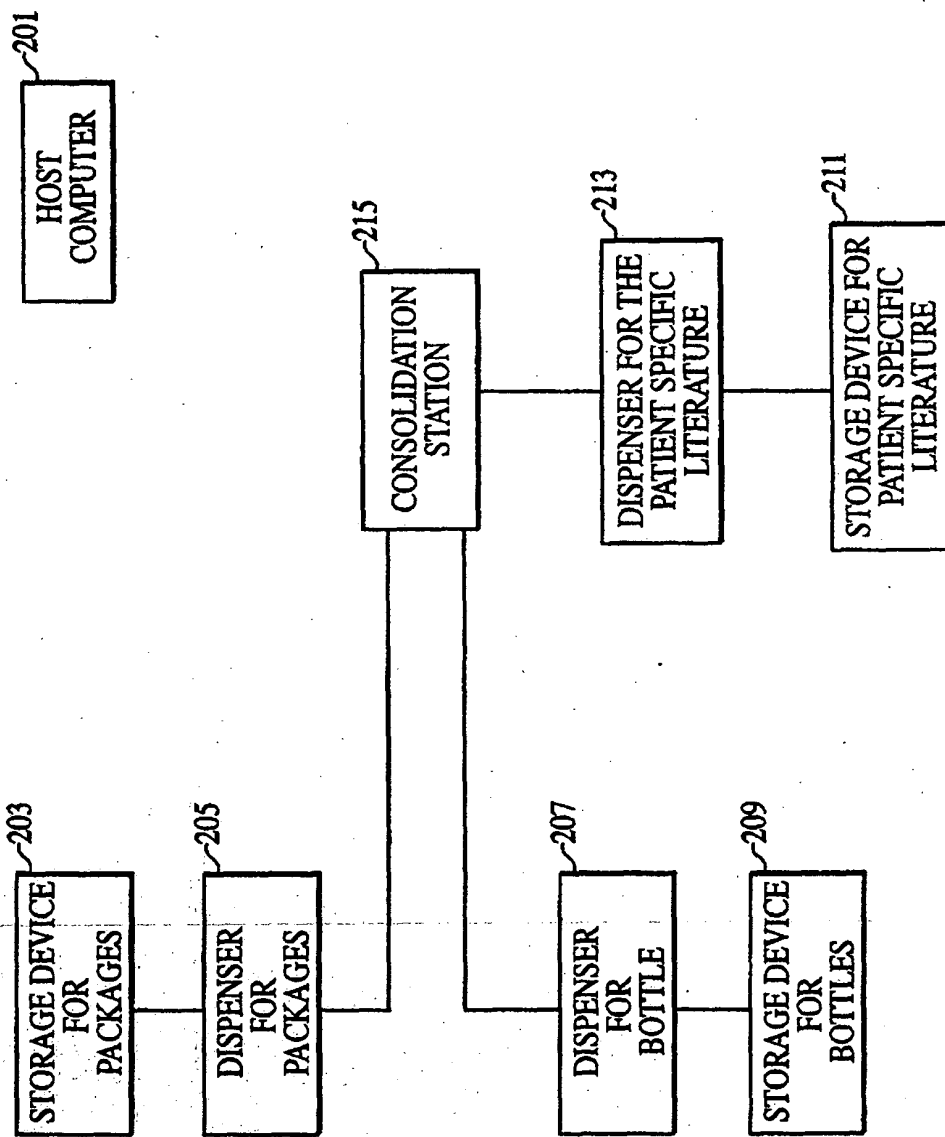


FIG. 12

RELATED ART

250



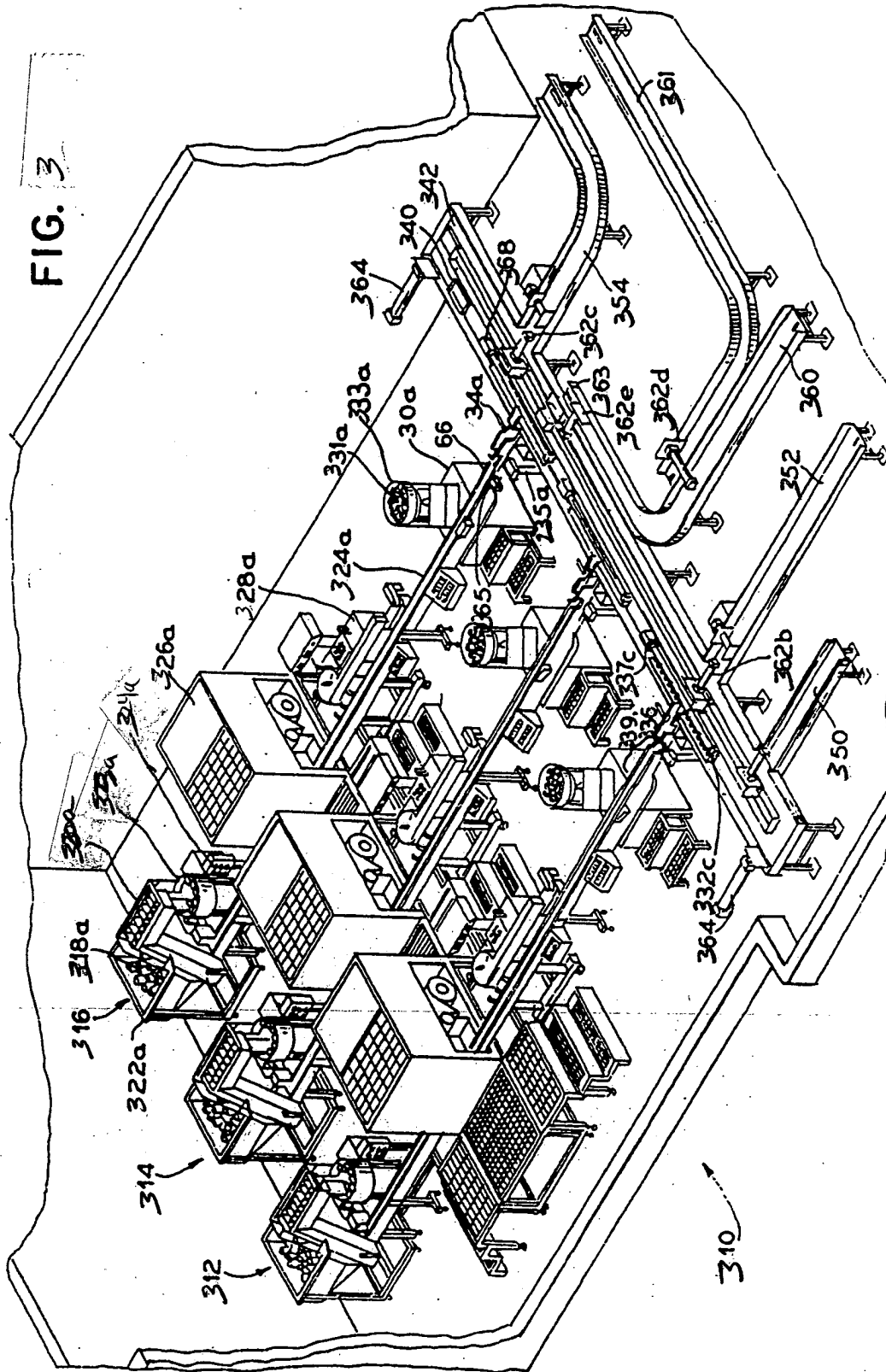


FIG. 3

RELATED ART

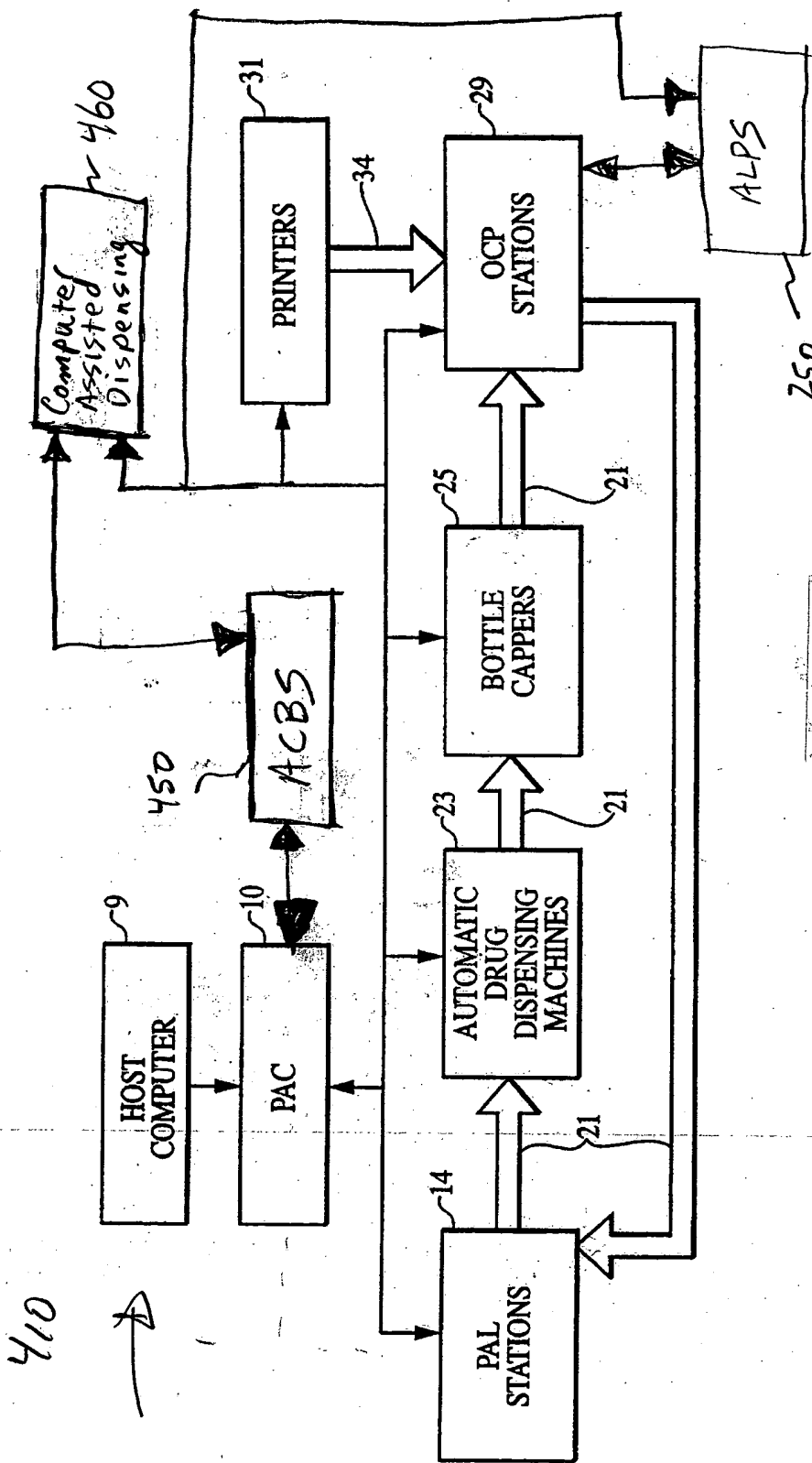
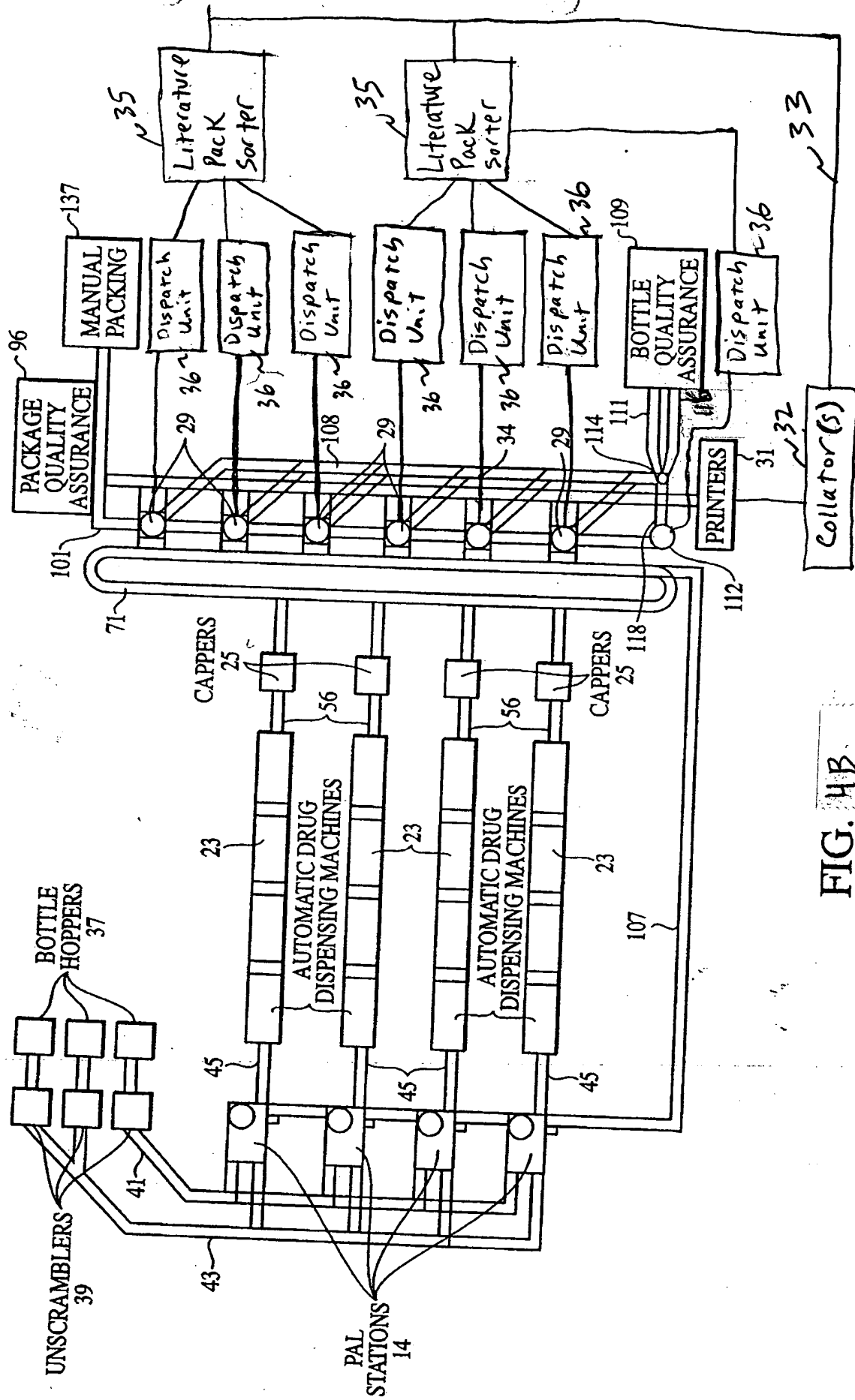


FIG. 4A



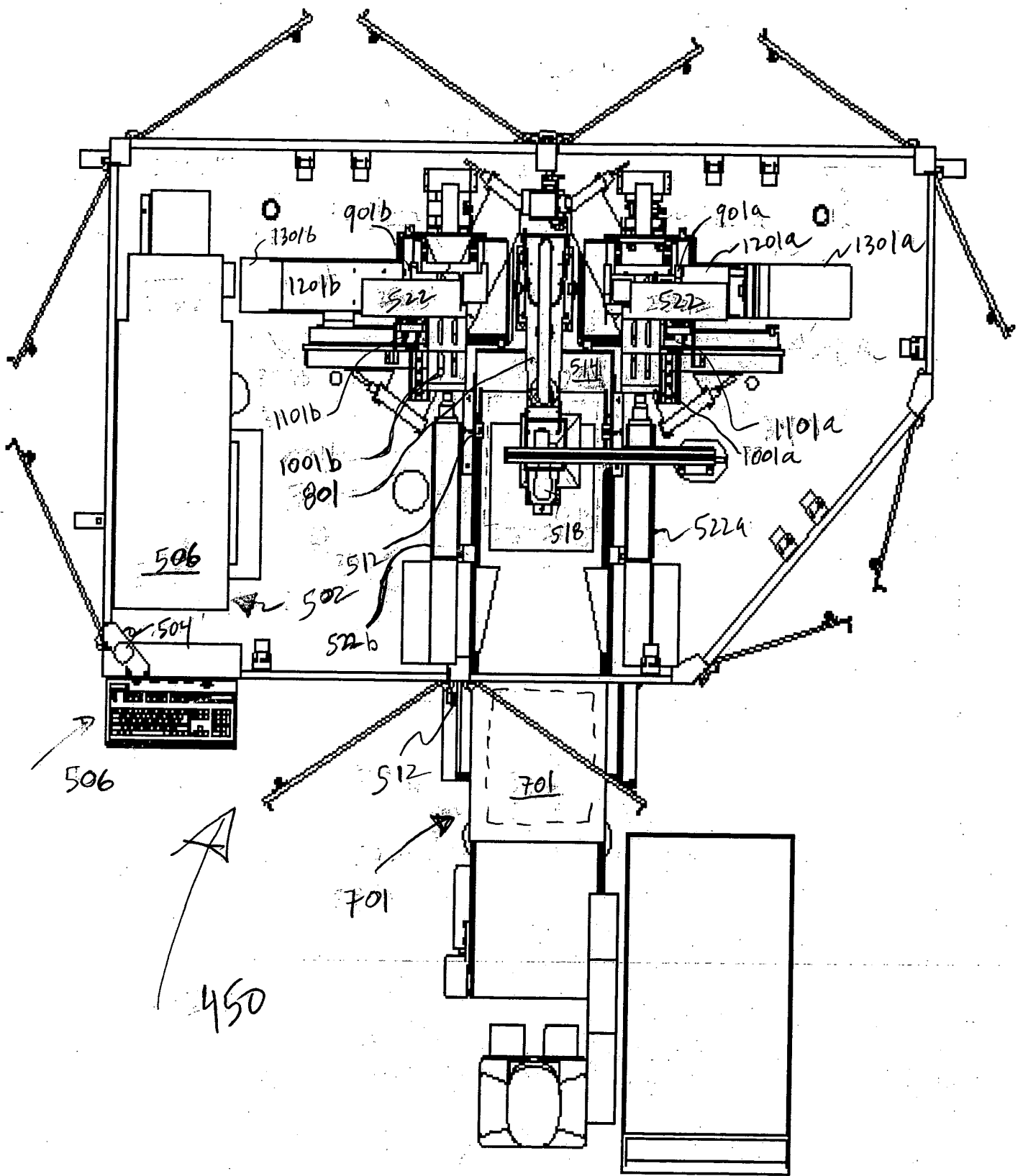


Fig. 25

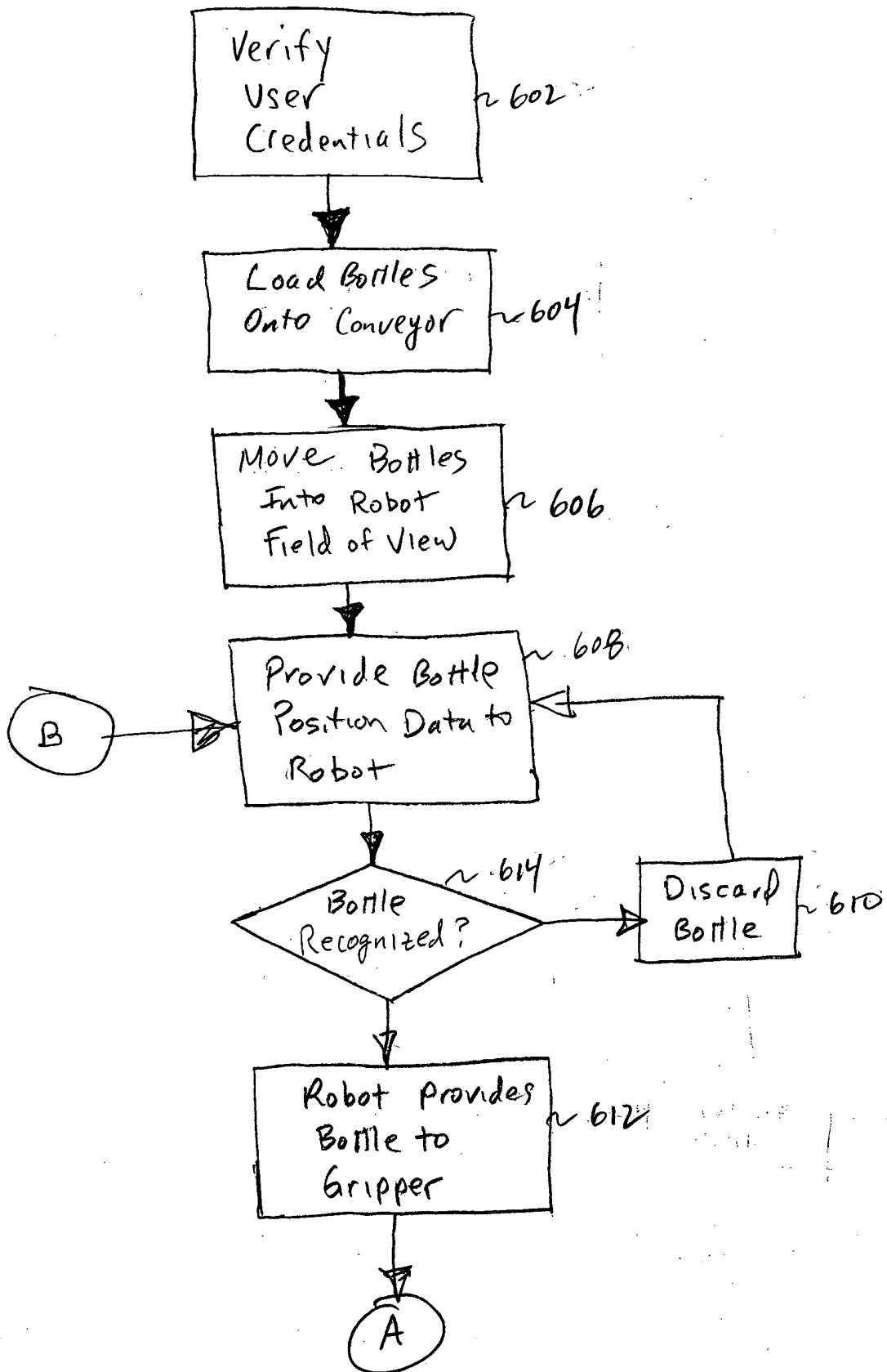


FIG. 6a

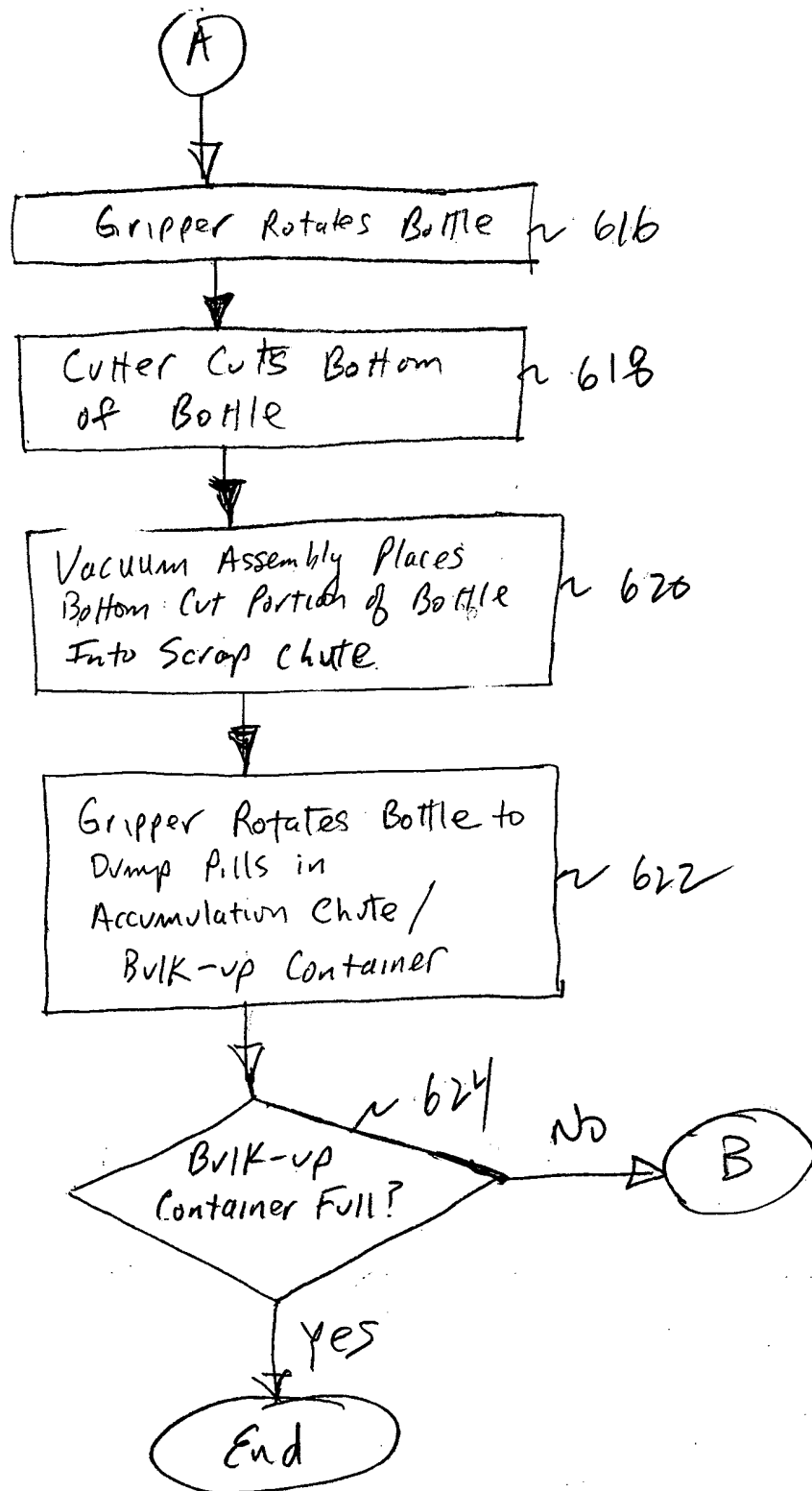
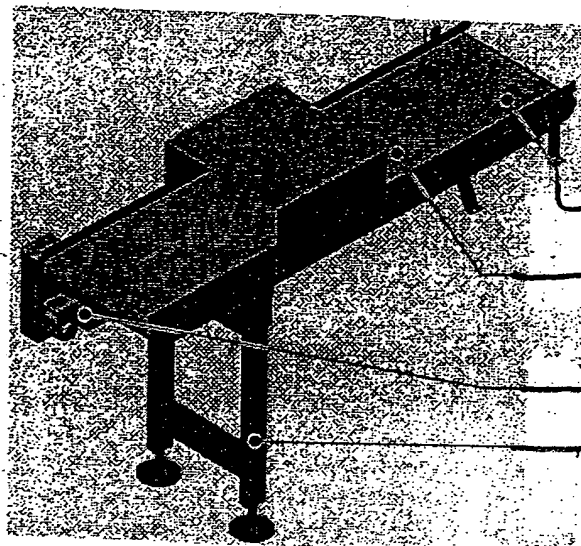


FIG. 6b



701

702

704

706

708

Fig. 7

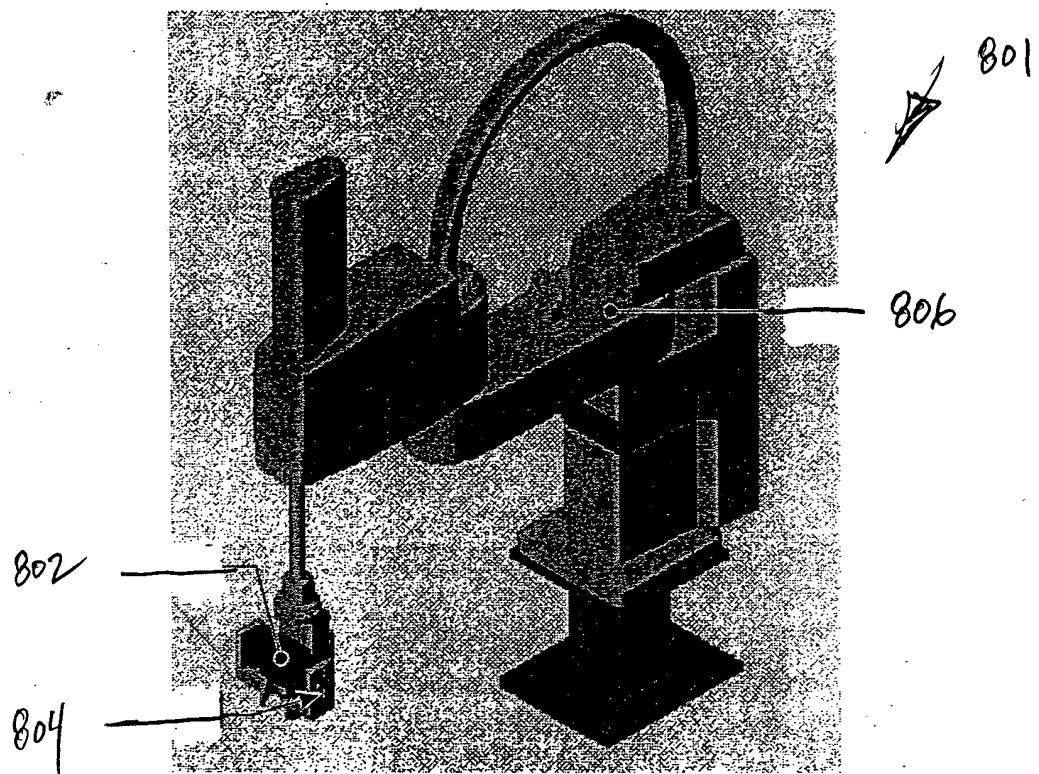
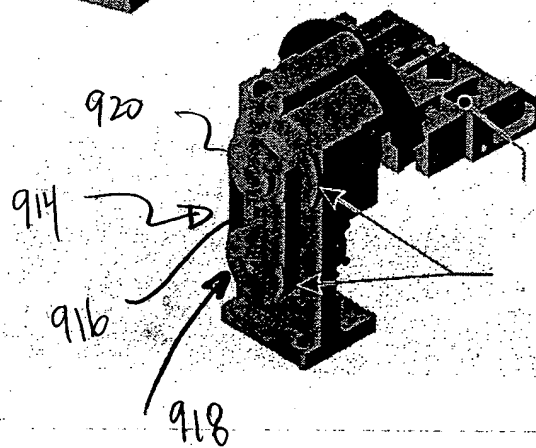
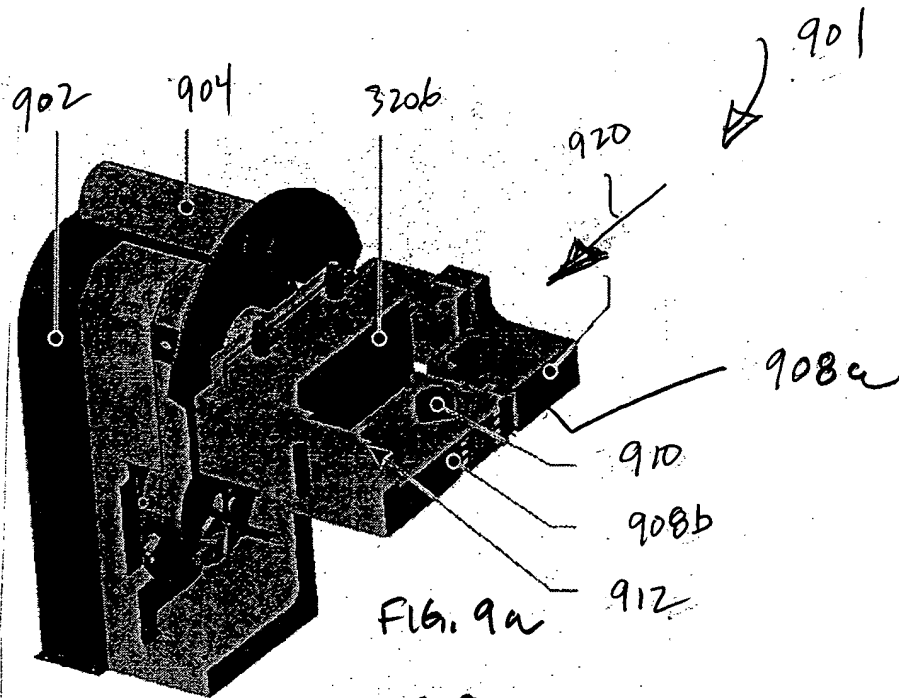


Fig 8



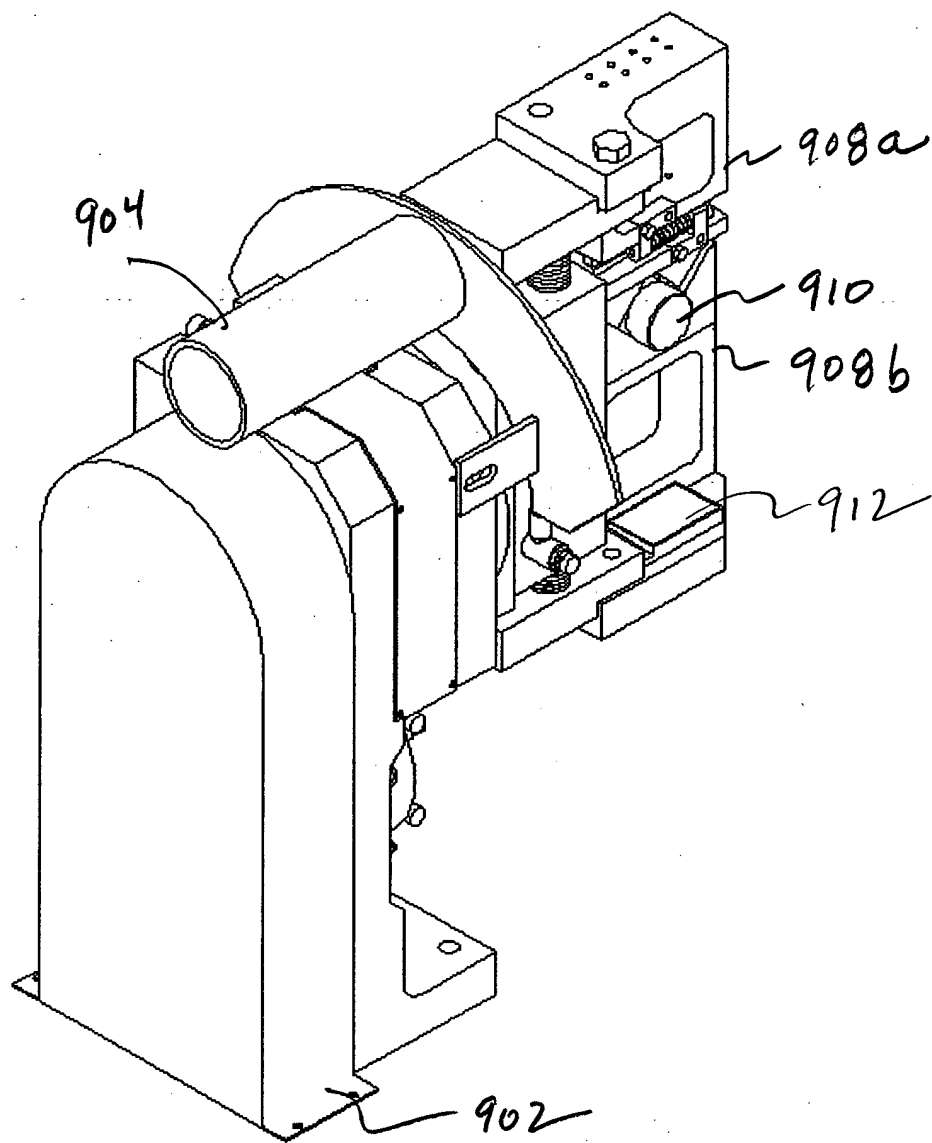


FIG. 9C

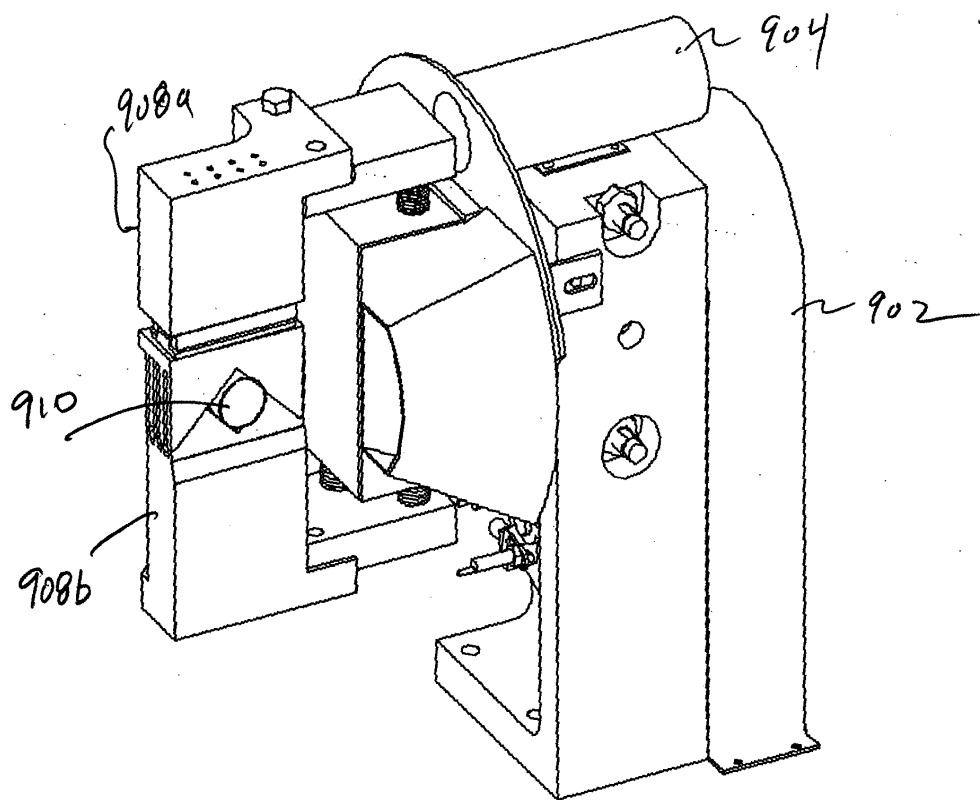


FIG. 9d

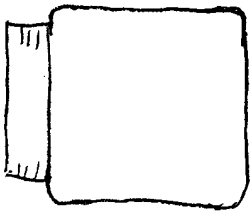


Fig. 9e

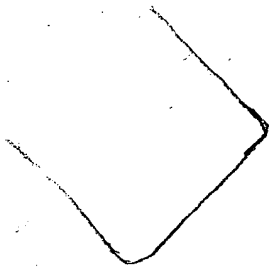


Fig. 9f

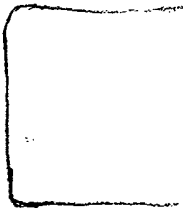


Fig. 9g

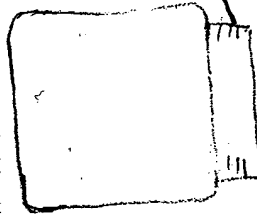


Fig. 9h

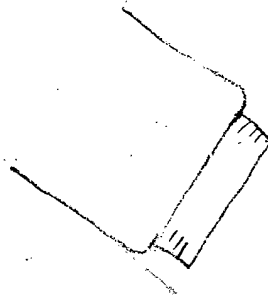


Fig. 9i

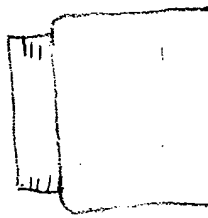


Fig. 9j



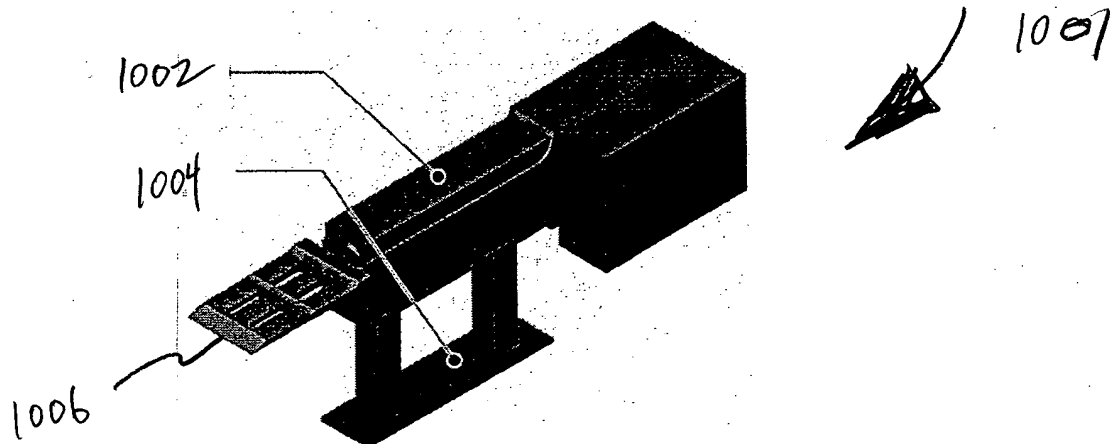


FIG. 10

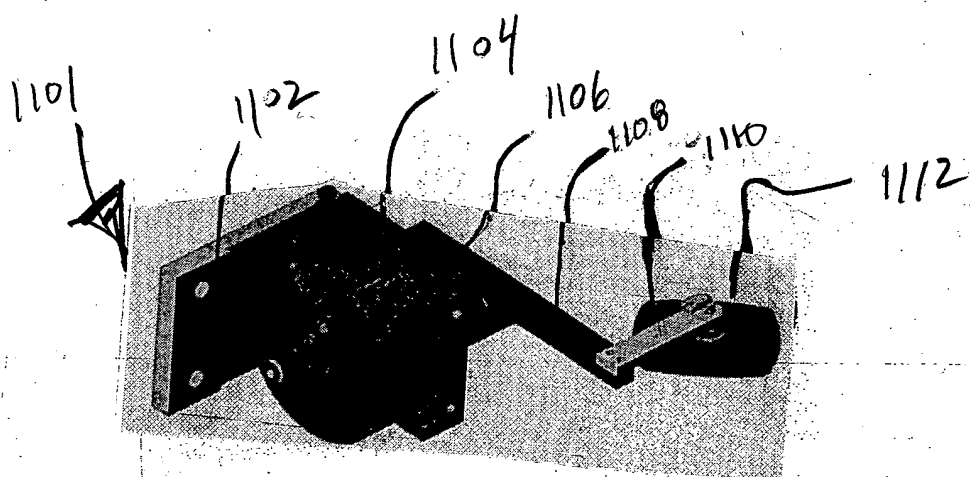


FIG. 11a

FIG. 11b

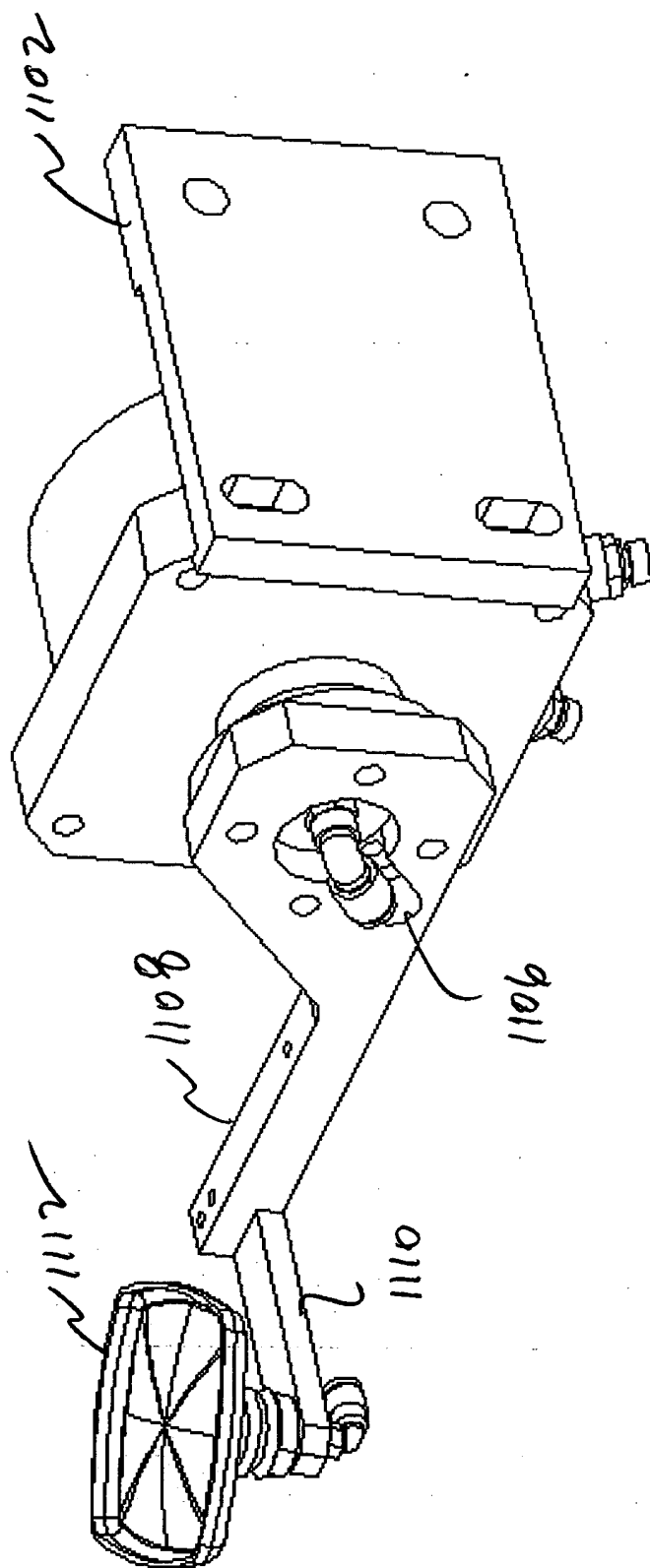


FIG. 11b

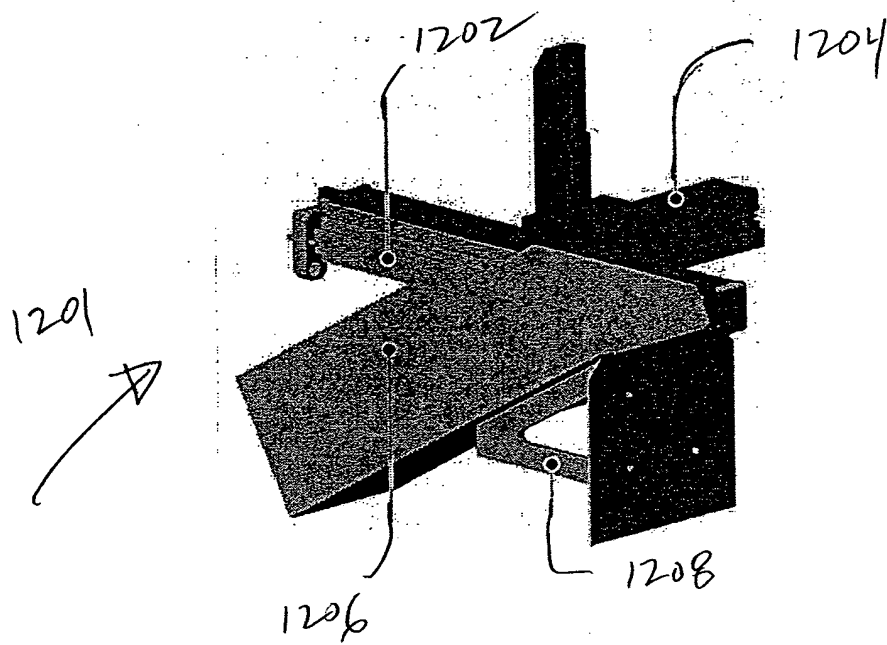
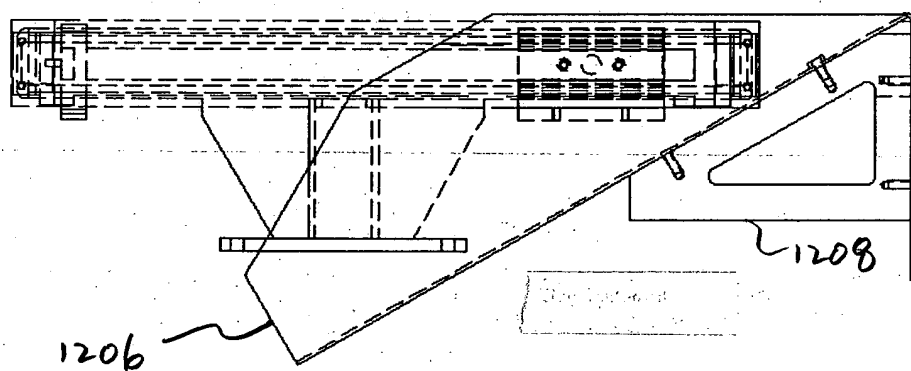
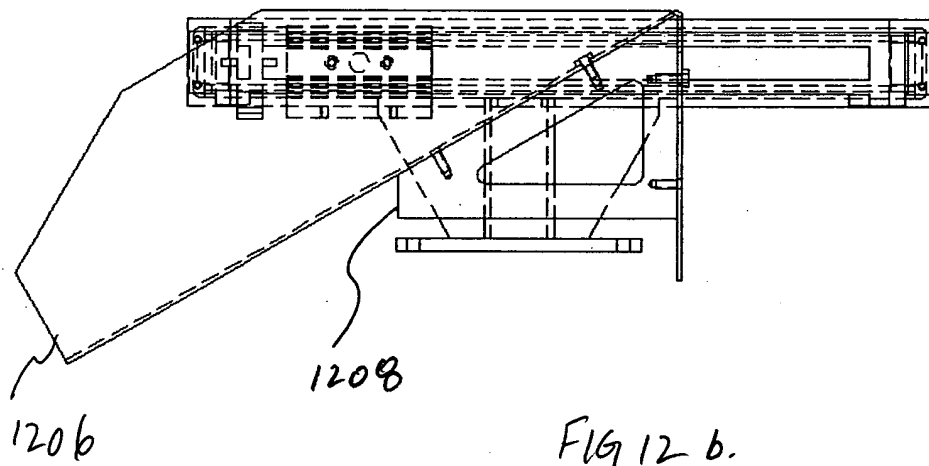


Fig. 12a



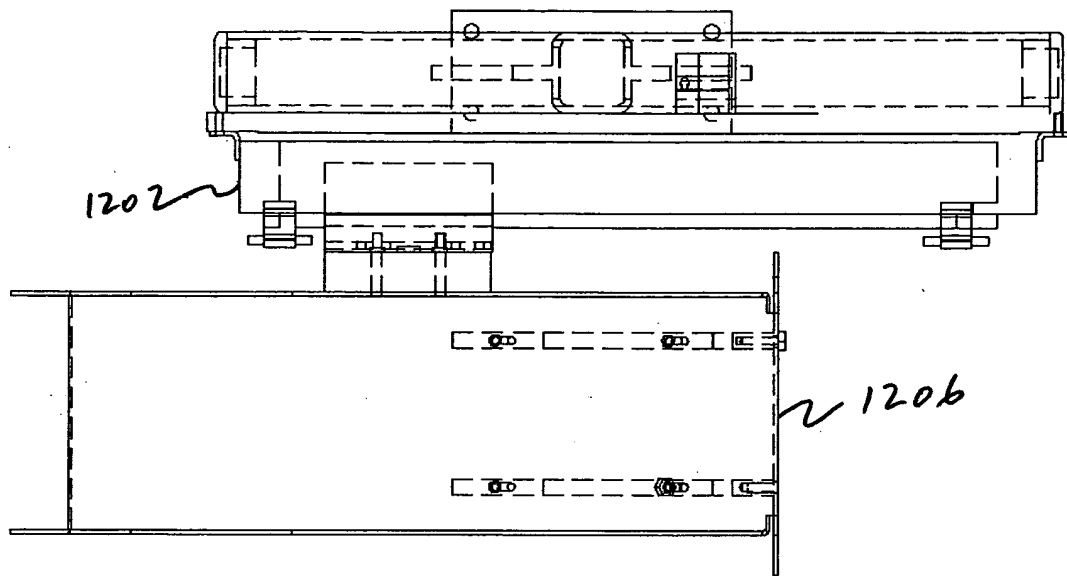


FIG. 12d

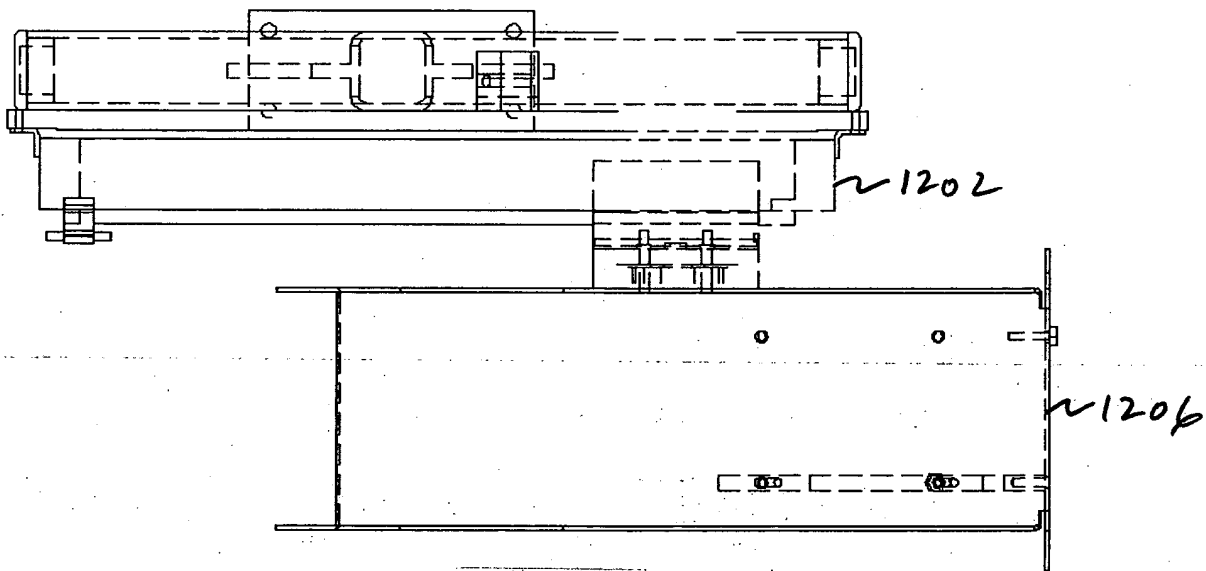


FIG. 12e

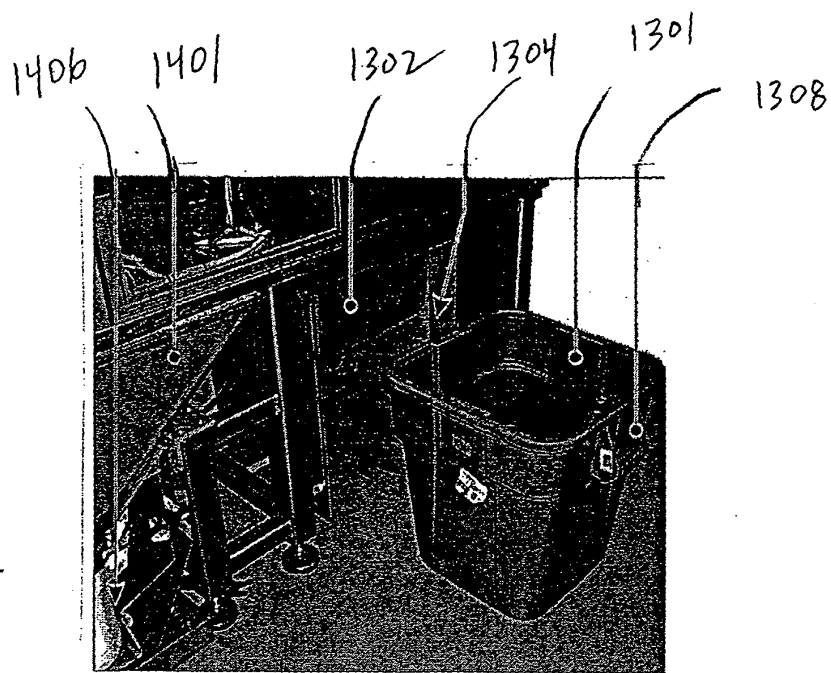
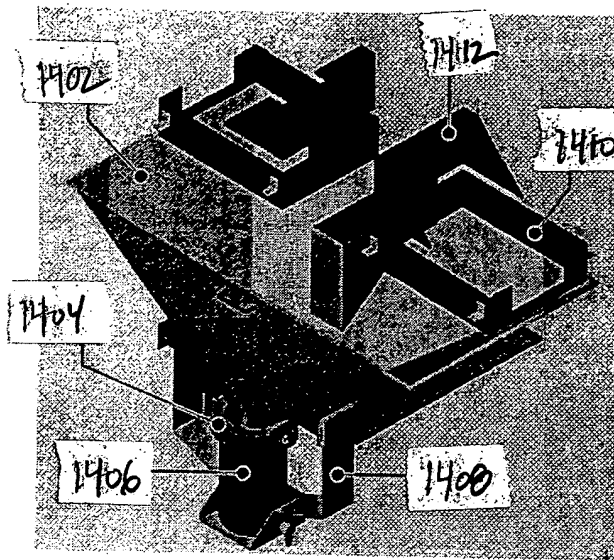


FIG. 13



1401

FIG. 14

1501

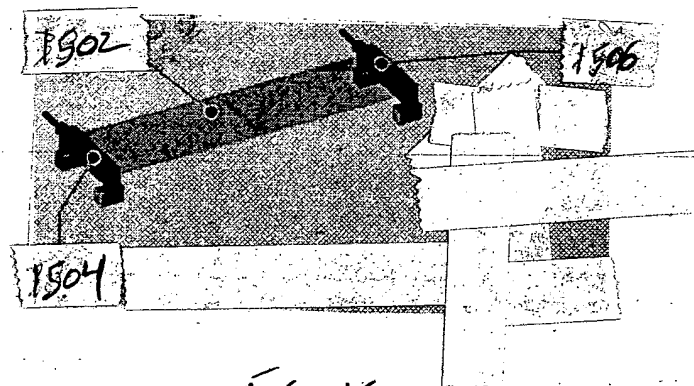


FIG. 15



1602 1604

1606

1608

1610

1601

FIG. 16

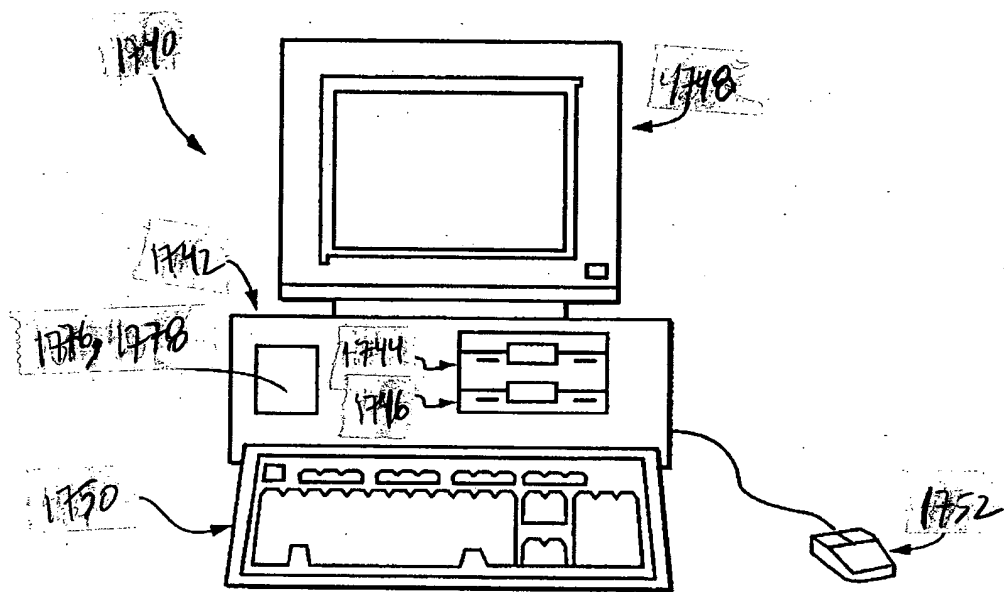


FIG. 17

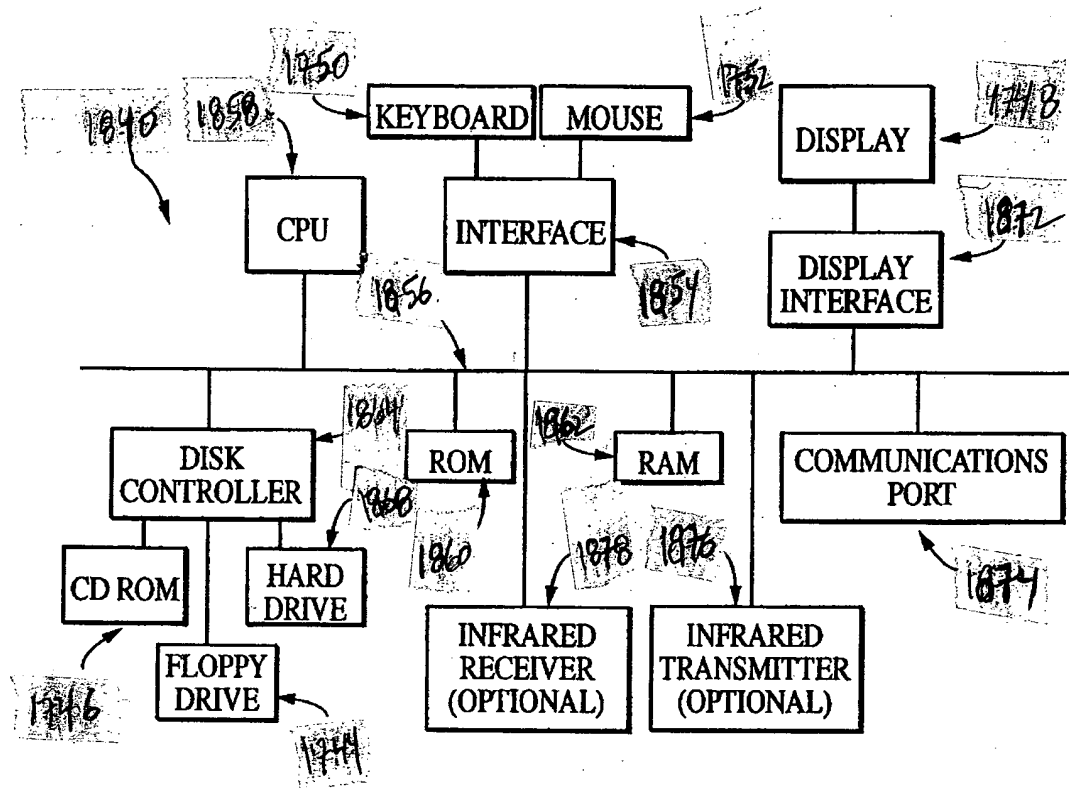


FIG. 18

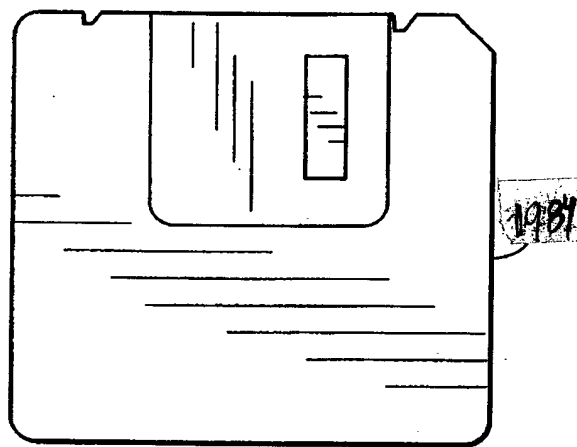


FIG. 19

FIG. 20

